

ИССЛЕДОВАНИЕ ХАРАКТЕРИСТИК ОРЕГОНСКОГО АПВЕЛЛИНГА

A.E. Букатов, Н.М. Соловей

Морской гидрофизический институт
НАН Украины
г. Севастополь, ул. Капитанская, 2
E-mail: oaoimhi@inbox.ru

На основе архивной базы гидрологических данных (WOD-2009) выполнено исследование закономерностей внутригодовой изменчивости термического индекса апвеллинга, частоты плавучести и характеристик низшей моды внутренних волн в акватории Орегонского апвеллинга. Даны оценка корреляционных взаимосвязей этих параметров.

Введение. Гидрологический режим исследуемого района (побережье Северной Америки до 130° з.д. в полосе между 34° с.ш. и 46° с.ш.) формируется под влиянием вод холодного Калифорнийского течения и подповерхностного прибрежного противотечения Дэвидсона.

Аномально холодные условия в Орегонском районе устанавливаются в результате адвекции субарктических вод, которая может сопровождаться прибрежным подъемом. В результате преобладания осадков и материкового стока над испарением, Калифорнийское течение несет на юг относительно распределившиеся воды, а течение Дэвидсона выносит к северу воды с повышенной соленостью. Поэтому у берегов севернее Калифорнии прослеживаются аномалии солености. Нарушение широтной зональности в распределении гидрологических характеристик является особенностью района исследований [1].

Настоящая работа посвящена изучению изменчивости термического индекса апвеллинга и пространственного положения максимума частоты плавучести в Орегонском районе. Проведён анализ распределения в акватории апвеллинговой зоны максимального по глубине амплитудного значения вертикальной составляющей скорости низшей моды внутренних волн.

Материалы и методика. В качестве исходных данных использовались массивы реальных значений температуры и солёности (WOD – 2009) [2]. Для исследования был выбран временной промежуток с 2000 по 2011 гг. Массив фактических гидрологических данных для акватории исследования содержит более 4000 станций.

Для характеристики интенсивности подъёма вод и внутригодовой изменчивости апвеллинга использовался термический индекс апвеллинга (ТИА). Для исследования внутренних волн рассчитывалась амплитуда вертикальной составляющей скорости $W(z)$ и соответствующий собственный период (T) низшей моды внутренних волн. Численные расчёты $W(z)$ проводились для заданной [3] длины волны $L=30$ км. Методика расчёта термического индекса апвеллинга, вертикальной структуры частоты плавучести и первой моды внутренних волн изложена в работах [3 – 8].

Анализ результатов. Распределение термического индекса апвеллинга (рис. 1) показывает, что по характеру внутригодовой изменчивости термического индекса в прибрежном районе Северной Америки выделяются 3 зоны:

1) между 34° и 35° с.ш. – умеренный сезонный апвеллинг. Подъём вод наблюдается здесь с июня по октябрь, значения модуля термического индекса не превышают 3° С;

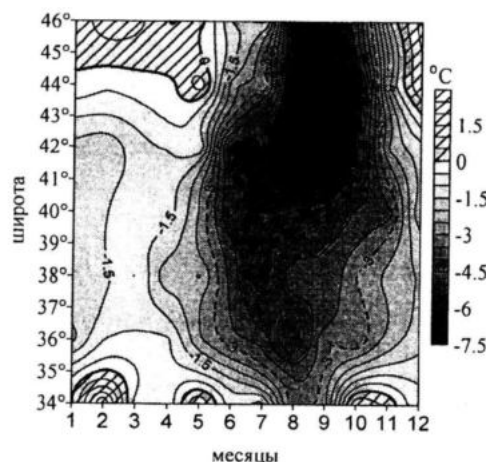


Рис. 1. Пространственно-временное распределение термического индекса Орегонского апвеллинга ($^{\circ}$ С)

2) между 35° и 43° с.ш. – зона круглогодичного апвеллинга с максимальным развитием в районе 42° с.ш в августе – сентябре;

3) между 43° и 46° с.ш. – зона сезонного интенсивного апвеллинга. Здесь максимальные по модулю значения термического индекса наблюдаются в августе – сентябре (7° С). С декабря по май подъём вод не происходит.

Анализ внутригодовой изменчивости максимума частоты Вясяля-Брента непосредственно в районе поднятия вод (на удалении 100 км от берега) (рис. 2) показал, что наибольшие его значения наблюдаются с мая по октябрь, наименьшие – с ноября по апрель. Причём, самые большие значения максимума частоты плавучести наблюдаются в зоне интенсивного сезонного апвеллинга в период его максимального развития.

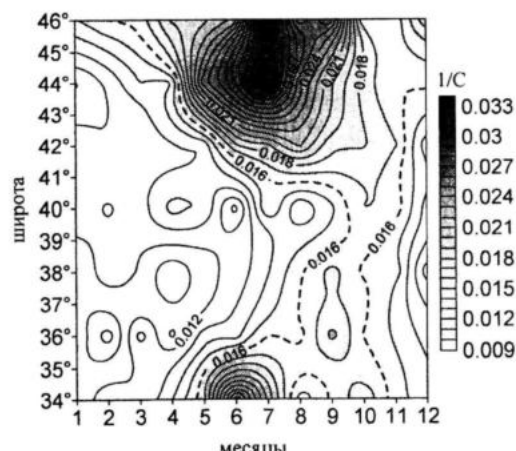


Рис. 2. Внутригодовая изменчивость N_{\max} (1/c) в зоне Орегонского апвеллинга на удалении 100 км от берега

Это существенно отличает Орегонский апвеллинг от Канарского, Бенгельского и Перуанского апвеллингов, где наибольшие значения максимума частоты плавучести по глубине отмечаются в тех районах и в те временные интервалы, когда апвеллинг ослабевает или отсутствует полностью [5, 6].

Исследовалась также внутригодовая изменчивость максимума амплитуды вертикальной составляющей скорости первой моды внутренних волн и её собственного периода (рис. 3, 4).

Наименьшие значения W_{\max} и T отмечаются с мая по сентябрь в полосе ин-

тенсивного сезонного апвеллинга в период наибольших значений термического индекса, наибольшие – с марта по сентябрь в зоне умеренного сезонного апвеллинга.

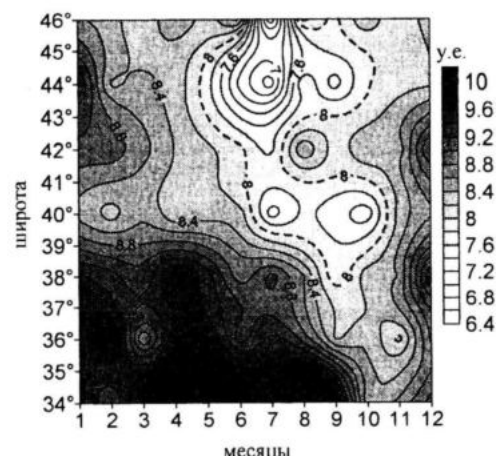
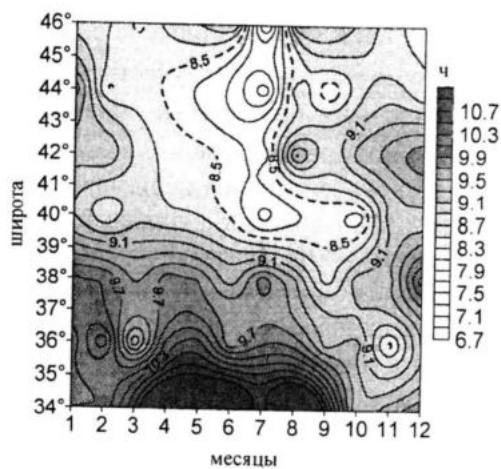


Рис. 3. Внутригодовая изменчивость W_{\max} (y.e.) в зоне Орегонского апвеллинга на удалении 100 км от берега

Необходимо отметить, что, в отличие от Орегонского апвеллинга, для Канарского, Бенгельского и Перуанского апвеллингов наименьшие значения W_{\max} и T наблюдались в полосе проявления сезона апвеллинга в месяцы, когда подъём вод не происходит. Самые большие значения W_{\max} и T отмечались в районах максимального развития апвеллингов в месяцы, когда интенсивность подъёма вод ослабевает [5, 6].

На рис. 5 – 7 представлена внутригодовая изменчивость N_{\max} , W_{\max} , T в зоне Орегонского апвеллинга на удалении 500 км от береговой линии вдоль широты. При сравнении с аналогичными распределениями на удалении 100 км от берега (рис. 2 – 4) видно, что абсолютные значения N_{\max} , W_{\max} , T несколько уменьшились, в то же время зоны локализации наибольших и наименьших значений приблизительно совпадают. Эта закономерность имеет место также для Канарского, Бенгельского и Перуанского апвеллингов [5, 6].

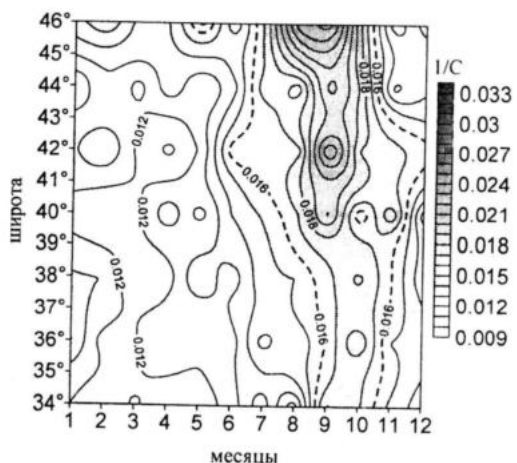
Для оценки взаимосвязи характеристик Орегонского апвеллинга для каждого месяца года рассчитывались коэффициенты корреляции ($K_{\text{кор}}$) между значениями N_{\max} , W_{\max} , T и термическим индексом апвеллинга (рис. 9, 10).



Р и с. 4. Внутригодовая изменчивость Т (ч) в зоне Орегонского апвеллинга на удалении 100 км от берега

На удалении 100 км. от берега вдоль широты для Орегонского апвеллинга только в отдельные месяцы модуль коэффициента корреляции между термическим индексом и максимумом частоты плавучести равен 0,7 – 0,9 (март – июнь, август, сентябрь, декабрь).

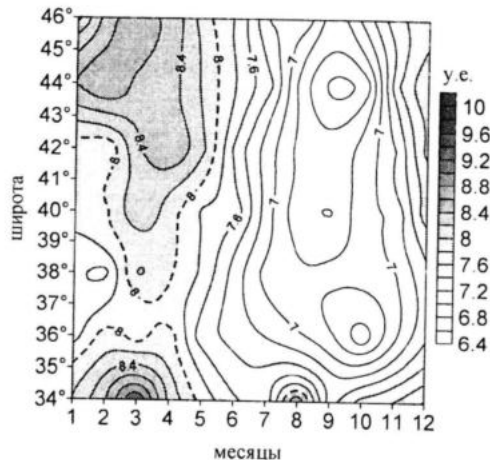
Коэффициенты корреляции между термическим индексом и W_{\max} , Т статистически мало значимы, за исключением декабря, когда $|K_{\text{кор}}|$ равен 0,9.



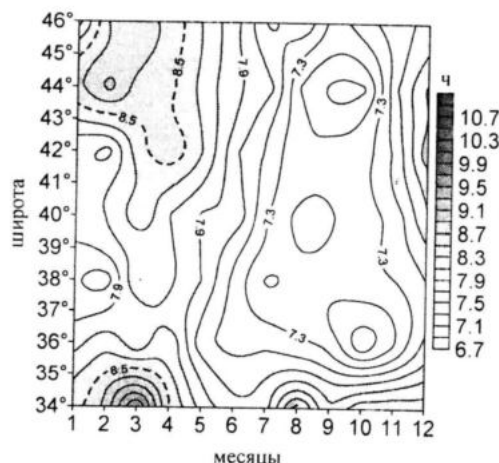
Р и с. 5. Внутригодовая изменчивость N_{\max} ($1/c$) в зоне Орегонского апвеллинга на удалении 500 км от берега

В этом также проявляется особенность Орегонского апвеллинга, т.к. для Канарского, Бенгельского и Перуанского апвеллингов коэффициенты корреляции практически для всех месяцев года со-

ставляют 0,8 – 0,9 по модулю. Кроме того, $K_{\text{кор}}$ между ТИА и N_{\max} отрицателен, а $K_{\text{кор}}$ между ТИА и W_{\max} , Т принимает только положительное значение. Для Орегонского апвеллинга коэффициенты корреляции дважды меняют знак в годовом цикле.



Р и с. 6. Внутригодовая изменчивость W_{\max} (у. е.) в зоне Орегонского апвеллинга на удалении 500 км от берега



Р и с. 7. Внутригодовая изменчивость Т (ч) в зоне Орегонского апвеллинга на удалении 500 км от берега

На удалении 500 км от берега вдоль широты $|K_{\text{кор}}|$ между термическим индексом и N_{\max} составляет 0,8 только в марте, августе, сентябре и ноябре. В остальные месяцы он значительно меньше. Коэффициент корреляции между термическим индексом, W_{\max} и Т равен 0,7 – 0,8 в феврале, апреле, мае, июле, октябре и ноябре. В остальные месяцы он составляет 0,4 – 0,6.

Следовательно, на периферии Орегонского апвеллинга корреляционная связь между градиентами температуры поверхности океана и параметрами внутренних волн лучше, чем непосредственно в зоне поднятия вод. Это также отличает Орегонский апвеллинг от трёх вышеназванных апвеллингов, где с удалением к периферии апвеллинговых зон влияние подъёма вод на волновые возмущения ослабевает.

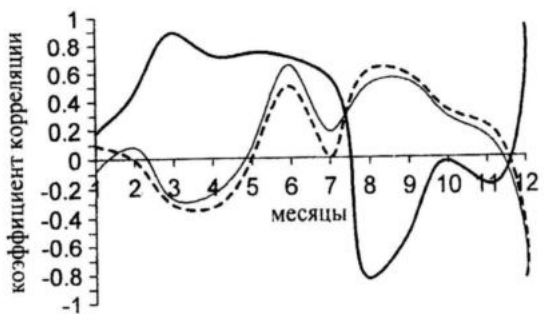


Рис. 8. Внутригодовая изменчивость коэффициентов корреляции между N_{max} (сплошная толстая линия), W_{max} (штриховая линия), T (сплошная тонкая линия) и ТИА в зоне Орегонского апвеллинга на удалении 100 км от берега

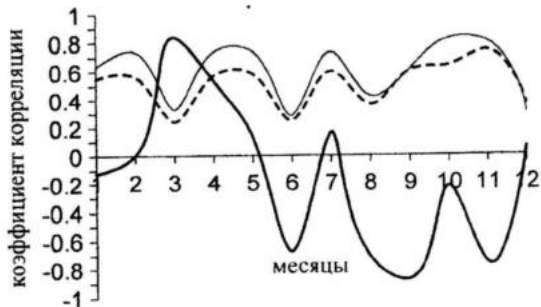


Рис. 9. Внутригодовая изменчивость коэффициентов корреляции между N_{max} (сплошная толстая линия), W_{max} (штриховая линия), T (сплошная тонкая линия) и ТИА в зоне Орегонского апвеллинга на удалении 500 км от берега

Заключение. Показано, что по характеру внутригодовой изменчивости термического индекса апвеллинга в районе Орегонского апвеллинга выделяются 3 зоны: зона умеренного сезонного апвеллинга, зона круглогодичного апвеллинга и зона сезонного интенсивного апвеллинга.

Выявлено, что наибольшие значения максимума частоты плавучести наблюдаются с мая по октябрь, наименьшие – с ноября по апрель.

Установлено, что на периферии Орегонского апвеллинга корреляционная связь между градиентами температуры поверхности океана и параметрами внутренних волн лучше, чем непосредственно в зоне поднятия вод.

СПИСОК ЛИТЕРАТУРЫ

- Фёдоров К.Н. Физическая природа и структура океанических фронтов. – Л.: Гидрометеоиздат, 1983. – 296 с.
- World Ocean Database 2009, <http://www.nodc.noaa.gov/OC5/ind-prod.html>
- Миропольский Ю.З. Динамика внутренних гравитационных волн в океане. – Л.: Гидрометеоиздат, 1981. – 302 с.
- Чернышков П.П., Сирота А.М., Тимохин Е.Н. Структура и динамика вод в районах Канарского и Бенгельского апвеллингов в Атлантическом океане и их влияние на популяции пелагических рыб. – Калининград: АтлантНИРО, 2005. – 195 с.
- Артамонов Ю.В., Букатов А.Е., Соловей Н.М. Исследование сезонной изменчивости частоты Вайсяля-Брента в районе Канарского апвеллинга по данным контактных измерений // Системы контроля окружающей среды. – Севастополь: МГИ НАНУ, 2007. – С. 170 – 172.
- Букатов А.Е., Соловей Н.М. Внутригодовая изменчивость характеристик Бенгельского и Перуанского апвеллингов // Системы контроля окружающей среды. – Севастополь: МГИ НАНУ, 2011, вып. 16. – С. 180 – 185.
- Краусс. В. Внутренние волны. – Л.: Гидрометеоиздат, 1968. – 272 с.
- Гриценко В.А., Красицкий В.П. Об одном способе расчёта дисперсионных соотношений и собственных функций внутренних волн в океане по данным натурных измерений // Океанология. – 1982, т. 22, вып. 4. – С. 546 – 549.